

## مطالعه مدل‌های سخت‌شوندگی در فرآیند هیدروفرمینگ پالسی قطعه T شکل

امیر اشرفی<sup>۱</sup>، خلیل خلیلی<sup>۲\*</sup>

۱- دانشجوی دکترا، مهندسی مکانیک، دانشگاه بیرجند، بیرجند

۲- دانشیار، مهندسی مکانیک، دانشگاه بیرجند، بیرجند

\*کخاللی@birjand.ac.ir، ۶۱۵/۹۷۱۷۵

### چکیده

در فرآیند هیدروفرمینگ منحنی فشار داخلی بر حسب جابجایی محوری مسیر بارگذاری نامیده می‌شود، که کلید رسیدن به یک قطعه مطلوب است. شبیه‌سازی فرآیند هیدروفرمینگ برای بررسی تأثیر منحنی بارگذاری بر روی خصوصیات قطعه نهایی می‌تواند مورد استفاده قرار گیرد. در این تحقیق شبیه‌سازی اجزاء محدود هیدروفرمینگ پالسی به وسیلهٔ دو مدل سخت‌شوندگی همسانگرد و سخت‌شوندگی ترکیبی همسانگرد-سینماتیک غیرخطی که اثر بوشینگ را نیز در نظر می‌گیرد، انجام گرفت. پارامترهای هر دو مدل سخت‌شوندگی از داده‌های آزمون کشش به دست آمد. نتایج دو شبیه‌سازی با نتایج آزمایش هیدروفرمینگ مقایسه شد. نتایج نشان داد که مدل سخت‌شوندگی ترکیبی همسانگرد-سینماتیک غیرخطی مشخصات قطعه نهایی را بهتر پیش‌بینی نموده است. تفاوت‌های بین دو شبیه‌سازی از این واقعیت نتیجه شد که در ابتدای فرآیند هیدروفرمینگ، به علت حرکت سنته محوری تشن فشاری در طول لوله وجود داشت و در ادامه با افزایش فشار داخلی، تنش کششی بر تشن فشاری غالب شد و جهت تنش بر عکس گردید و اثر بوشینگ بر نتایج تأثیر گذاشت. برای مطالعه تأثیر فشار پالسی بر خصوصیات ماده لوله، آزمون بالج سه مرحله‌ای با باربرداری در هر مرحله انجام شد و نتایج با آزمون بالج یک مرحله‌ای مقایسه گردید. بارگذاری و باربرداری فشار داخلی باعث افزایش ارتفاع برآمدگی برای یک سطح از فشار نهایی در مقایسه با بارگذاری یک مرحله‌ای تا همان سطح از فشار شد. شبیه‌سازی فرآیند هیدروفرمینگ پالسی و هیدروفرمینگ خطی باهم مقایسه شد و ارتفاع برآمدگی و ضخامت‌های به دست آمده افزایش شکل‌بندیری ماده لوله را در هیدروفرمینگ پالسی با در نظر گرفتن میانگین فشار بکار رفته نشان داد.

### اطلاعات مقاله

مقاله پژوهشی کامل

دریافت: ۰۳ دی ۱۳۹۳

پذیرش: ۲۶ بهمن ۱۳۹۳

ارائه در سایت: ۱۸ اسفند ۱۳۹۳

کلید واژگان:

هیدروفرمینگ پالسی

روش اجزاء محدود

سخت‌شوندگی همسانگرد

سخت‌شوندگی ترکیبی همسانگرد-سینماتیک

غیرخطی

## Study of the hardening models in T-shape pulsating hydroforming process

Khalil Khalili\*, Amir Ashrafi

Department of Mechanical Engineering, University of Birjand, Birjand, Iran  
\*P.O.B. 615/97175 Birjand, kkhallili@birjand.ac.ir

### ARTICLE INFORMATION

Original Research Paper  
Received 24 December 2014  
Accepted 15 February 2015  
Available Online 09 March 2015

**Keywords:**  
Pulsating Hydroforming  
Finite Element Method  
Isotropic Hardening  
Mixed Isotropic-Nonlinear Kinematic Hardening

### ABSTRACT

In hydroforming process, the curve of internal pressure versus axial feeding is called loading path, which is the key to producing a desired product. Finite element simulation of tube hydroforming can be used to study the loading path effect on the final part characteristics. In this research the finite element simulation of pulsating hydroforming process has been done in conjugation with two different work hardening models: an isotropic hardening and a mixed isotropic-nonlinear kinematic hardening model, which is able to describe the Bauschinger effect. The parameters of both hardening models have been obtained from tensile test data. The results of both finite element simulations were compared to experimental work. The results show that the mixed hardening model obtains better prediction of final product characteristics than isotropic hardening. The differences between the results of two hardening models are from the fact that in a hydroforming process the tensile and compression loads are used and the loads reversal may occur. To study the effect of pulsating pressure on tube material characteristic, a three-step bulge test with unloading has been done and the results have been compared to monotonic bulge test. Loading and unloading of internal pressure cause a higher bulge height for a final pressure level compared to monotonic bulge height. The finite element simulation of pulsating hydroforming has been compared to linear hydroforming. The reported bulge heights and thicknesses show an improvement in formability of tubular material in pulsating hydroforming by considering the average pressure level that was applied.

### ۱- مقدمه

در فرآیند هیدروفرمینگ، لوله اولیه با اعمال همزمان فشار هیدرولیکی به سطح داخلی و نیروی‌های محوری به دو انتهای آن به شکل قالب موردنظر تغییر شکل پیدا می‌کند. کاهش وزن و یکپارچگی قطعات از مهم‌ترین

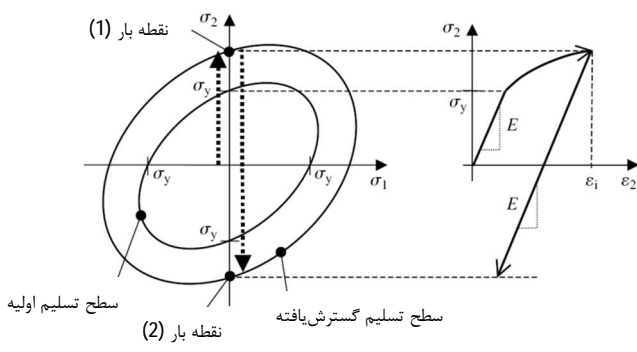
Please cite this article using:

Kh. Khalili, A. Ashrafi, Study of the hardening models in T-shape pulsating hydroforming process, *Modares Mechanical Engineering*, Vol. 15, No. 4, pp. 401-412, 2015  
(In Persian)

برای ارجاع به این مقاله از عبارت ذیل استفاده نمایید:

سینماتیک<sup>5</sup> می‌توان در نظر گرفت. در سخت‌شوندگی همسانگرد همان‌طور که در شکل 1 نشان داده شده است، سطح تسلیم ماده با افزایش کرنش بزرگ می‌شود و درنتیجه تنش‌های بیشتری برای تسلیم ماده مورد نیاز است و شرایط تسلیم در کشش و فشار مشابه است. هنگامی که بار به طور یکنواخت افزایش می‌یابد، قابل قبول است که فرض شود همه سخت‌شوندگی همسانگرد است. برای مواردی که بارگذاری معکوس می‌شود، فرض همسانگرد بودن به‌نهایی مناسب نیست. همان‌طور که در شکل 1 مشاهده می‌شود با فرض رفتار همسانگرد برای ماده، بعد از بارگذاری تا نقطه بار 1 و سپس معکوس شدن بار، رفتار ماده الاستیک خواهد بود، تا اینکه به نقطه بار 2 برسد و در این نقطه تسلیم صورت می‌گیرد. این نقطه بار 2 بر روی سطح تسلیم است و پس از این نقطه تغییر شکل پلاستیک خواهد شد. با در نظر گرفتن رفتار همسانگرد محدوده الاستیک بزرگی به دست می‌آید، که اغلب در آزمایش‌ها مشاهده نمی‌شود. در حقیقت محدوده الاستیک کوچکتری در هنگام معکوس شدن بار مورد انتظار است که در شکل 2 نشان داده شده است. این پدیده اثر بوشینگ نامیده می‌شود و توسط سخت‌شوندگی سینماتیک تعریف می‌شود. در سخت‌شوندگی سینماتیک همان‌طور که در شکل 2 نمایش داده شده است، سطح تسلیم در فضای تنش‌ها جابجا می‌شود تا اینکه بخواهد بزرگ شود. بنابراین در هنگام تغییر جهت بار، تنش تسلیم ماده در جهت مخالف کمتر خواهد بود. ترکیبی از سخت‌شوندگی همسانگرد و سینماتیک که در آن سطح تسلیم ماده همزمان بزرگ می‌شود و مرکز آن نیز منتقل می‌شود، تعریف شده است که در شکل 3 مشاهده می‌شود [17].

سخت‌شوندگی سینماتیک وابسته به بازیابی دینامیکی<sup>6</sup> است. در حین مراحل ابتدایی تغییر شکل به دلیل اینکه ناجایی‌ها<sup>7</sup> در هم تداخل می‌کنند،



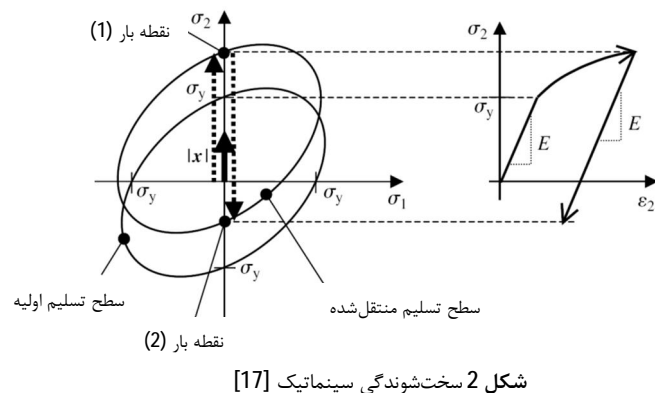
شبیه‌سازی اجزاء محدود<sup>1</sup> فرآیند هیدروفرمینگ می‌تواند در پیش‌بینی شکل‌پذیری لوله بکار رود. برای شبیه‌سازی فرآیند هیدروفرمینگ، داده‌های دقیق ماده لوله از قبیل منحنی تش سیلان<sup>2</sup> ماده، ضخامت، قطر و ناهمسانگردی و همچنین پارامترهای فرآیندی از قبیل فشار داخلی، جابجایی محوری و اصطکاک موردنیاز است [2]. تحقیقات فراوانی برای ارزیابی تأثیر فشار داخلی و جابجایی سنبه محوری بر روی کیفیت قطعه تولیدی از نقطه‌نظر یکنواختی ضخامت و ارتفاع برآمدگی انجام گرفته است. ری و مکدونالد شبیه‌سازی فرآیند هیدروفرمینگ قطعات T و X شکل را به‌وسیله روش اجزاء محدود و با شرایط مزدی و بارگذاری مشابه با آزمایش‌ها انجام دادند [3]. لین و کوان ضمن شبیه‌سازی فرآیند هیدروفرمینگ اتصال T شکل، نحوه تأثیر پارامترهای شعاع گوشه قالب و فشار داخلی را در این فرآیند بررسی کردند [4]. همچنین از ترکیب روش اجزاء محدود با طراحی آزمایش‌ها و یا منطق فازی برای بهینه‌سازی مسیرهای بارگذاری در فرآیند هیدروفرمینگ قطعه T شکل استفاده شده است [5-8]. یکی از زمینه‌های جدید در فرآیند هیدروفرمینگ استفاده از نوسان فشار داخلی در حین فرآیند است. موری و همکارانش با استفاده از آزمایش تجربی و روش اجزاء محدود بهبود شکل پذیری لوله در منطقه بالج آزاد را در فرآیند هیدروفرمینگ نوسانی ارزیابی نمودند [10,9]. هاما و همکارانش تأثیر فشار نوسانی را بر روی یک قطعه خودرو با استفاده از روش اجزاء محدود بررسی کردند. آن‌ها ادعا کردند که با استفاده از فشار نوسانی ضرب اصطکاک کاهش یافته و گوشه‌های قالب نیز بهتر پر شد [11]. لوح موسوی و همکارانش با استفاده از روش تجربی و شبیه‌سازی اجزاء محدود، تأثیر اصطکاک و دامنه و بسامد نوسان را بر روی رفتار نازک شدگی لوله ارزیابی نمودند و مکانیسم بهبود شکل پذیری را در حین فرآیند هیدروفرمینگ نوسانی قطعه T شکل بررسی کردند [12]. کددخایان و عرفانی مقدم با استفاده از روش طراحی آزمایش‌ها و شبیه‌سازی اجزاء محدود، پارامترهای مسیرهای بارگذاری نوسانی را در فرآیند هیدروفرمینگ T شکل موردمطالعه قراردادند و به کمک روش بهینه‌سازی الگوریتم تبرید تدریجی<sup>3</sup> مسیرهای بارگذاری بهینه را به دست آورdenد [13]. ژو و همکارانش هیدروفرمینگ پالسی با دامنه بزرگ را در بهبود شکل‌پذیری قطعه شاسی خودرو با توزیع ضخامت یکنواخت به‌طوری که گوشه‌های قالب نیز پرشده است، مؤثر دانستند [14]. لوح موسوی و همکارانش فرآیند هیدروفرمینگ لوله با اعمال فشار نوسانی در قالب جعبه‌ای شکل را با روش‌های اجزاء محدود و تجربی موردنبررسی قراردادند و مسیر بارگذاری نوسانی جدیدی را پیشنهاد کردند که به کمک آن درصد پرشدگی گوشه قالب افزایش یافت [15]. یانگ و همکارانش فشار پالسی را در شکل‌دهی قطعه‌ای که در ساخت آن به جای حرکت سنبه محوری از نیروی فشاری شعاعی استفاده می‌شود، بررسی کردند. آن‌ها بهبود شکل پذیری در این فرآیند را به تغییرات در ریزساختار ماده لوله فولاد زنگ نزن مربوط دانستند [16]. در این تحقیق تحلیل اجزاء محدود فرآیند هیدروفرمینگ پالسی برای قطعه سه‌راهی T شکل از جنس مس موردنبررسی قرار گرفت. یکی از پارامترهای مهم موردنیاز برای تحلیل اجزاء محدود فرآیند هیدروفرمینگ، خواص مکانیکی ماده لوله موردنظر است. اصولاً برای بررسی رفتار مکانیکی ماده دو نوع سخت‌شوندگی همسانگرد<sup>4</sup> و سخت‌شوندگی

1- Finite Element Simulation

2- Flow Stress Curve

3- Simulated Annealing Algorithm

4- Isotropic Hardening



5- Kinematic Hardening

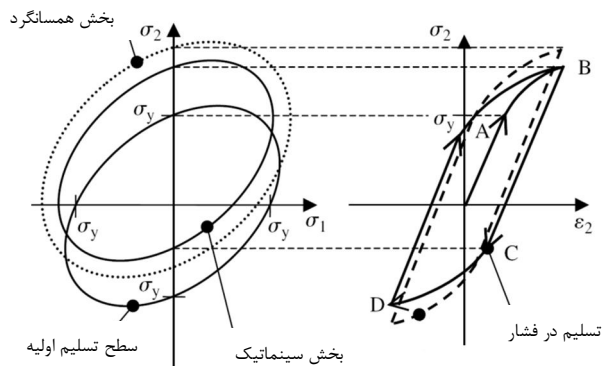
6- Dynamic Recovery

7- Dislocations

تأمین قدرت برای حرکت محوری سنبه‌ها و فشار داخلی لوله به طور جداگانه استفاده شد. از یک کنترل کننده تناوبی-انتگرال-مشتقی<sup>5</sup> برای کنترل فشار هیدرولیکی استفاده گردید. سیستم داده گیری شامل حسگر فشار و حسگر موقعیت خطی بود، که برای اندازه‌گیری برخط<sup>6</sup> فشار داخل لوله و همچنین موقعیت سنبه محوری به کار رفت. داده‌های خروجی حسگرها برای کنترل دقیق مداربسته مجدداً به کنترل کننده منتقل شدند و نهایتاً در یک رابانه ذخیره گردیدند. سیستم طراحی شده قابلیت کنترل منحنی مسیر بارگذاری به صورت‌های خطی و پالسی را دارا بود.

### 3- ماده لوله

لوله‌های بدون درز مورد استفاده در آزمایش‌ها از جنس آلیاژ مس مورداستفاده در تهیه مطبوع<sup>7</sup> با قطر خارجی 28/56 میلی‌متر، ضخامت ۱/۲۷ میلی‌متر و طول 150 میلی‌متر بودند. لوله‌ها پس از برش و آماده‌سازی، در دمای 550 درجه سانتی‌گراد به مدت 90 دقیقه تحت عملیات آنیل کردن قرار گرفتند و سپس در کوره سرد شدند. برای به دست آوردن خواص مکانیکی ماده لوله، از آزمون کشش تکمحوره استفاده شد. نمونه‌های آزمون کشش مطابق استاندارد انجمن مواد و آزمایش آمریکا<sup>8</sup> توسط دستگاه سیم برش از درون لوله تهیه شدند و برای یکنواختی خواص مشابه نمونه‌های لوله‌ای مورداستفاده در فرآیند هیدروفرمینگ آنیل شدند. نمونه‌ها سپس توسط دستگاه کشش<sup>9</sup> تحت آزمون کشش قرار گرفتند و اصلاح ناهمسانگردی نیز بر روی داده‌های به دست آمده انجام شد. به این ترتیب که نمونه‌هایی از درون ساختار مکعب وجود مرکز پر<sup>4</sup> دیده می‌شود و برای مس برابر  $78 \text{ mJm}^{-2}$  است که مقداری متوسط است [18]. بنابراین در این تحقیق بخشی از سخت‌شوندگی لوله مسی در فرآیند هیدروفرمینگ از نوع سخت‌شوندگی سینماتیک به حساب آورده شد.



شکل 3 سخت‌شوندگی ترکیبی همسانگرد-سینماتیک [17]

چگالی نابجایی‌ها بالا می‌رود و به تدریج صعود<sup>1</sup> و لغزش متقطع<sup>2</sup> که مکانیسم‌های بازیابی هستند، اتفاق می‌افتد. در یک کرنش مشخص نرخ کارسختی و بازیابی به یک مقدار تعادلی می‌رسد و چگالی نابجایی‌ها ثابت می‌ماند. بنابراین بخش سینماتیک منحنی تنش-کرنش به یک مقدار اشباع می‌رسد. میزان صعود و لغزش متقطع، وابستگی مستقیم به انرژی نقص در چیده شدن<sup>3</sup> در ساختار ماده دارند. انرژی نقص در چیده شدن در فلزات با ساختار مکعب وجود مرکز پر<sup>4</sup> دیده می‌شود و برای مس برابر  $78 \text{ mJm}^{-2}$  است که مقداری متوسط است [18]. بنابراین در این تحقیق بخشی از سخت‌شوندگی لوله مسی در فرآیند هیدروفرمینگ از نوع سخت‌شوندگی سینماتیک به حساب آورده شد.

مدل‌های سخت‌شوندگی در برخی فرآیندهای شکل‌دهی موردمطالعه فرآیند رفتة است. پناهی‌زاده رحیملو و همکارانش اثر دو مدل سخت‌شوندگی همسانگرد و سینماتیک را بر روی میزان برگشت فتری کاتال ل اشکانی مقارن بررسی کردند [19]. در فرآیند هیدروفرمینگ شبیه‌سازی‌های انجام‌شده بر اساس مدل سخت‌شوندگی همسانگرد بوده است. در این تحقیق مدل سخت‌شوندگی همسانگرد-سینماتیک غیرخطی در شبیه‌سازی اجزاء محدود فرآیند هیدروفرمینگ استفاده شد و نتایج با شبیه‌سازی به کمک مدل سخت‌شوندگی همسانگرد مقایسه گشت.

### 2- مواد و تجهیزات آزمایش هیدروفرمینگ

یک ماشین هیدروفرمینگ از بخش‌های اصلی شامل موارد زیر ساخته می‌شود [20]:

- پرس و وسایل بستن قالب
- ابزارها
- سیستم فشار و تشید کننده

سیلندرهای هیدرولیکی و سنبه‌ها برای آببندی لوله و تغذیه ماده در این تحقیق برای انجام آزمایش‌ها بخش‌های اصلی ماشین هیدروفرمینگ ساخته و مونتاژ شدند. از یک پرس 600 کیلو نیوتونی برای بستن قالب فرآیند، کامپیوتر و سیستم داده گیری و وسایل اندازه‌گیری فشار و موقعیت خطی در این تحقیق برای انجام آزمایش‌ها بخش‌های اصلی ماشین هیدروفرمینگ استفاده شد. قالب هیدروفرمینگ شامل یک حفره T شکل با قطر برابر با قطر لوله بود. از یک واحد تولید فشار هیدرولیکی با دو عدد پمپ برای

$$\bar{\sigma} = \sqrt{\frac{3}{2} \left[ \frac{(1 + 1/R_0)}{(1/R_{90}) + 1 + (1/R_0)} \right]^{1/2}} \sigma_2 \quad (1)$$

$$\bar{\varepsilon} = \sqrt{\frac{2}{3} \left( \frac{(1/R_{90}) + 1 + (1/R_0)}{1 + (1/R_0)} \right)^{1/2}} \varepsilon_2 \quad (2)$$

که در این روابط  $\bar{\sigma}$  و  $\bar{\varepsilon}$  تنش مؤثر و کرنش مؤثر،  $\sigma_2$  و  $\varepsilon_2$  تنش و کرنش در نمونه‌های کشش در راستای طولی لوله و  $R_0$  و  $R_{90}$  ضرایب ناهمسانگردی در دو راستای طولی و عمود بر راستای طولی لوله به عنوان مبنای در نظر گرفته شدند و از روابط (1) و (2) ارائه شده توسط هوآنگ و همکارانش [22]، مقادیر تنش و کرنش مربوطه اصلاح شدند.

**3-1- سخت‌شوندگی همسانگرد**  
در سخت‌شوندگی همسانگرد معمولاً از معادله توانی سوئیفت<sup>11</sup> به صورت رابطه (3) برای نشان دادن تغییرات تنش مؤثر بر حسب کرنش مؤثر استفاده می‌شود [23]:

$$\bar{\sigma} = K(\bar{\varepsilon} + \varepsilon_0)^n \quad (3)$$

5- Proportional-Integral-Derivative Controller (PID Controller)

6- Online Measurement

7- C12200 Copper Alloy-ASTM B280-97

8- ASTM E8

9- Wire Cutting Machine

10- Zwick Tensile Testing Machine

11- Swift Power Law Relation

1- Climb  
2- Cross Slip  
3- Stacking Fault Energy  
4- Face Centered Cubic (FCC)

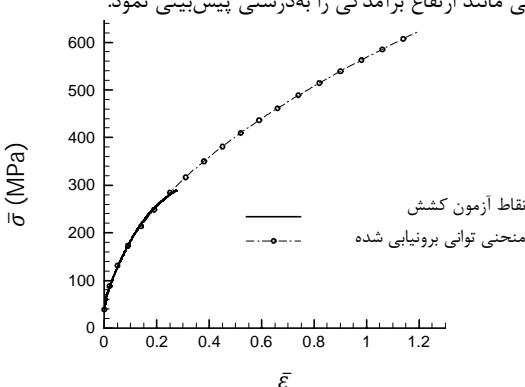
نرخ رسیدن به این مقدار را تعیین می‌کند. مقدار  $\alpha$  در رابطه (5) با استفاده از مدل سخت‌شوندگی شابوش به صورت رابطه (7) است [27]:

$$\alpha = \frac{c}{\gamma} (1 - e^{-\gamma \epsilon_p}) \quad (7)$$

که در این رابطه  $c$  و  $\gamma$  نیز ثابت‌های ماده هستند. مقدار  $c/n$  حد اشباع جابجایی مرکز سطح تسلیم را نشان می‌دهد و پارامتر  $\gamma$  نیز نرخ رسیدن به این حد اشباع را مشخص می‌کند. با قرار دادن روابط (6) و (7) در رابطه (5)، رابطه (8) برای سخت‌شوندگی ترکیبی همسانگرد-سینماتیک غیرخطی به دست می‌آید [28]:

$$\bar{\sigma} = \sigma_0 + Q(1 - e^{-b \epsilon_p}) + \frac{c}{\gamma} (1 - e^{-\gamma \epsilon_p}) \quad (8)$$

برای استفاده از سخت‌شوندگی ترکیبی باید مقادیر پارامترهای  $Q$ ,  $c$ ,  $b$  و  $\gamma$  تعیین شوند. با توجه به اینکه در سخت‌شوندگی ترکیبی تسلیم ماده تابعی از اندازه سطح تسلیم و موقعیت مرکز سطح تسلیم است، ترکیب این دو عامل حالت‌های مختلفی را به وجود می‌آورد. درنتیجه به دست آوردن مقادیر پارامترهای رابطه (8) بسادگی سخت‌شوندگی همسانگرد نیست. برای به دست آوردن پارامترهای سخت‌شوندگی سینماتیک و یا ترکیبی همسانگرد-سینماتیک غیرخطی، نیاز به آزمایش‌های کشش-فشار سیکلی است. داده‌های آزمون سیکلی به کمک روش‌های شبکه عصبی و الگوریتم زنگین برای به دست آوردن پارامترهای موردنظر بکار برد شدند [29,24]. همچنین از داده‌های آزمون تورفتگی کروی<sup>6</sup> به دست آوردن پارامترهای سخت‌شوندگی سینماتیک و سخت‌شوندگی ترکیبی استفاده شده است [28]. ویلیامز و همکارانش برای به دست آوردن پارامترهای سخت‌شوندگی ترکیبی ابتدا یک لوله را در شرایط هیدروفرمینگ تحت کرنش‌های فشاری طولی قراردادند بهطوری که باعث کمانش و چروکیدگی در لوله نشد. سپس نمونه‌های آزمون کشش را از درون این لوله استخراج کردند و با انجام آزمون کشش بر روی این نمونه‌ها، پارامترهای موردنظر را تعیین نمودند [30]. در این تحقیق برای به دست آوردن مقادیر این پارامترها از داده‌های آزمون کشش تکمحوره و همچنین ارزیابی مقادیر این پارامترها در نرمافزار اجزاء محدود برای شبیه‌سازی فرآیند هیدروفرمینگ استفاده شد بهطوری که استفاده از مقادیر این پارامترها در شبیه‌سازی اجزاء محدود خصوصیاتی از قطعه نهایی مانند ارتفاع برآمدگی را بدسترسی پیش‌بینی نمود.

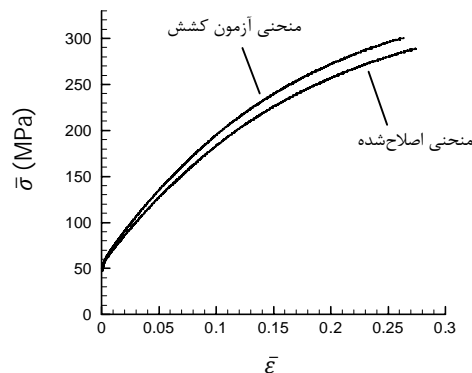


شکل 5 مقایسه منحنی سخت‌شوندگی همسانگرد و منحنی آزمایش کشش

جدول 1 مقادیر پارامترهای سخت‌شوندگی همسانگرد

پارامتر	ضریب استحکام $K$ (MPa)	توان کارسختی $n$	پیش کرنش $\epsilon_0$
0/005	0/505	567	مقدار

6- Spherical Indentation



شکل 4 منحنی تنش مؤثر-کرنش مؤثر آزمون کشش [21]

که در این رابطه  $K$  ضریب استحکام،  $\epsilon_0$  پیش کرنش و  $n$  توان کارسختی نامیده می‌شود. از برازش<sup>1</sup> این منحنی توانی بر منحنی داده‌های آزمون کشش اصلاح شده در شکل 4 به کمک روش کمترین مربعات خط<sup>2</sup>، مقادیر پارامترهای سخت‌شوندگی همسانگرد به دست آمد. در شکل 5 منحنی توانی و مقادیر داده‌های آزمون کشش باهم مقایسه گردیدند. در جدول 1 مقادیر به دست آمده برای پارامترهای سخت‌شوندگی همسانگرد داده شدند.

3-2- سخت‌شوندگی ترکیبی همسانگرد-سینماتیک غیرخطی  
چنانچه تنش‌های وارد به قطعه حالت بارگذاری و باربرداری داشته باشند، در این صورت باید اثر بوشینگر<sup>3</sup> نیز در تعیین میزان تنش‌های تسلیم ماده در نظر گرفته شود. یکی از معیارهایی که می‌توان برای این منظور به کار برد، معیار سخت‌شوندگی ترکیبی همسانگرد-سینماتیک غیرخطی است. در این معیار، اندازه سطح تسلیم نه تنها با افزایش تنش‌ها بزرگ‌تر می‌شود، بلکه مرکز سطح تسلیم نیز در فضای تنش‌های اصلی جابجا می‌شود.تابع تسلیم ماده با استفاده از معیار ون‌میز و سخت‌شوندگی ترکیبی به صورت رابطه (4) قابل تعریف است [24]:

$$f(\sigma - \alpha, k) = \sqrt{(s - \alpha) \cdot (s - \alpha)} - k = 0 \quad (4)$$

که در این رابطه  $s$  تانسور تنش احرافی،  $\alpha$  تانسور تنش قبلی احرافی<sup>4</sup> که جابجایی مرکز سطح تسلیم را مشخص می‌کند و  $k$  اندازه سطح تسلیم است که برای سخت‌شوندگی سینماتیک سخت‌شوندگی همسانگرد با سخت‌شوندگی ترکیبی متغیر است و طبق سخت‌شوندگی همسانگرد-سینماتیک افزایش کرنش، مقدار  $k$  افزایش می‌باید. سخت‌شوندگی همسانگرد-سینماتیک غیرخطی با رابطه (5) نمایش داده می‌شود [25]:

$$\bar{\sigma} = \sigma_0 + R + \alpha \quad (5)$$

در این رابطه  $\sigma_0$  تنش تسلیم اولیه و  $R$  مربوط به سخت‌شوندگی همسانگرد و  $\alpha$  مربوط به سخت‌شوندگی سینماتیک است. همچنین مقدار  $\sigma_0 + R$  اندازه سطح تسلیم را مشخص می‌کند و معادل  $k$  در رابطه (4) است. مقدار  $R$  طبق مدل شابوش به صورت رابطه (6) تعریف می‌شود [26]:

$$R = Q(1 - e^{-b \epsilon_p}) \quad (6)$$

در این رابطه  $Q$  و  $b$  ثابت‌های ماده هستند و  $\epsilon_p$  کرنش پلاستیک تجمعی است. پارامتر  $Q$ ، بیشینه اندازه سطح تسلیم را مشخص می‌کند و پارامتر  $b$ ،

1- Fitting

2- Least Square Error Method

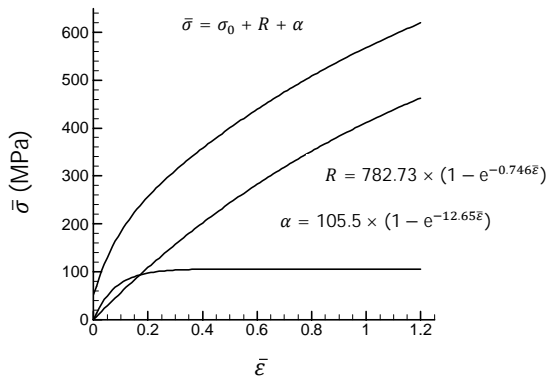
3- Bauschinger Effect

4- Deviatoric Back-stress Tensor

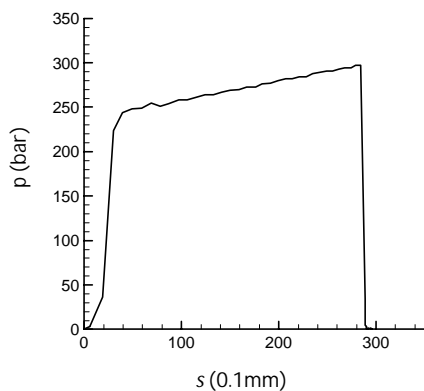
5- Chaboche Model

جدول 2 مقادیر پارامترهای سخت‌شوندگی ترکیبی

$\gamma$	$c(\text{MPa})$	$b$	$Q(\text{MPa})$	$\sigma_0(\text{MPa})$	پارامتر
12/65	1334/6	0/746	782/73	51/3	مقدار



شکل 6 نمودار تنش-کرنش سخت‌شوندگی ترکیبی از جدول 2



شکل 7 منحنی مسیر بارگذاری در هیدروفرمینگ بدون نوسان فشار

رفت و توسط المان شش‌وجهی و هشت گرهی<sup>5</sup> مش بندی شد. اندازه المان‌های لوله به‌این‌ترتیب انتخاب شد که ابتدا از المان درشت برای مش بندی در جهت ضخامت استفاده گردید و سپس المان‌های ریزتر استفاده شد و در هر مرحله نتایج با مرحله قبل مقایسه گردید تا با توجه به خطا و همچنین زمان شبیه‌سازی اندازه مناسب المان انتخاب شود. تعداد دو المان در راستای ضخامت لوله برای شبیه‌سازی مناسب تشخیص داده شد و مقادیر ارتفاع برآمدگی به عنوان یک متغیر قابل ارزیابی توسط آزمایش تجريبی در شبیه‌سازی توسط دو و سه المان اختلاف ناچیز داشتند. بنابراین با توجه به زمان شبیه‌سازی، از دو المان در راستای ضخامت استفاده شد. همان‌طور که در شکل 8-الف مشاهده می‌شود، مدل بهصورت سه‌بعدی و کامل موربررسی قرار گرفت. دلیل این کار این بود که معمولاً استفاده از نصف یا یک‌چهارم مدل و اعمال شرایط مرزی بر روی لوله و قالب در صفحات تقارن، امکان تحلیل کامل مدل خصوصاً هنگام وقوع چروکیدگی را نمی‌دهد. با توجه به استفاده از مدل کامل، برای لوله هیچ‌گونه شرایط مرزی غیر از تماس با قالب و سنبه‌های محوری فقط برای حرکت در جهت محور لوله آزاد بودند و شدن. سنبه‌های محوری فقط برای حرکت در جهت محور لوله آزاد بودند و در بقیه جهات طولی و چرخشی مقيید شدند. تماس بين اجزاء قالب و لوله از نوع پنالتی<sup>6</sup> و بهصورت جفت سطوح تماسی<sup>1</sup> تعریف شد. همچنین از روش

## 3-3 به دست آوردن پارامترهای سخت‌شوندگی ترکیبی

در این تحقیق برای یافتن پارامترهای سخت‌شوندگی ترکیبی از روش کمترین مربعات خطأ استفاده شد. بدین ترتیب که ابتدا مقادیر تصادفی برای  $a$ ,  $b$ ,  $c$  و  $\gamma$  در نظر گرفته شدند و سپس با استفاده از رابطه (9) مجموع مربعات خطای بین مقادیر تنש‌های آزمون کشش و مقادیر به‌دست‌آمده از رابطه (8) محاسبه شدند.

$$S(Q, b, c, \gamma) = \sum_{i=1}^m \left[ \bar{\sigma}_i - \left\{ \frac{\sigma_0 + Q(1 - e^{-b\bar{\varepsilon}_i})}{\gamma} + \frac{c}{\gamma}(1 - e^{-\gamma\bar{\varepsilon}_i}) \right\} \right]^2, \quad (Q - R \geq 0, \frac{c}{\gamma} - \alpha \geq 0) \quad (9)$$

که در این رابطه  $\bar{\sigma}_i$  تنش‌های مؤثر و  $\bar{\varepsilon}_i$  کرنش‌های مؤثر برای منحنی توانی برونوی ای شده آزمون کشش در شکل 5 و  $n$  تعداد نقاط می‌باشد. با استفاده از روش کمترین مربعات خطأ و تحت قیود داده شده در رابطه (9)، مقادیری از  $Q$ ,  $b$ ,  $c$  و  $\gamma$  که به ازای آن‌ها مقدار  $S$  کمترین باشد، به عنوان پارامترهای موردنظر انتخاب شدند. بهمنظور به دست آوردن مقادیر بهینه پارامترهای تابع  $f$ ، از الگوریتم ژنتیک<sup>1</sup> استفاده شد. بهینه‌سازی برای 100 نسل انجام گرفت و جمعیت نسل‌ها 50 عدد و ضریب چهش 0/2 انتخاب شد. پارامترهای به‌دست‌آمده از الگوریتم ژنتیک در جدول 2 داده شدند. نمودار تنش-کرنش با استفاده از پارامترهای سخت‌شوندگی ترکیبی از جدول 2 در شکل 6 نشان داده شده است که شامل دو قسمت سخت‌شوندگی همسان‌گرد و سخت‌شوندگی سینماتیک بود. سخت‌شوندگی سینماتیک بعد از یک کرنش مشخص به حد اشباع رسید.

## 4- شبیه‌سازی فرآیند هیدروفرمینگ بدون نوسان فشار

در هیدروفرمینگ بدون نوسان فشار همان‌طور که در شکل 7 مشاهده می‌شود، منحنی فشار داخلی بر حسب جابجایی سنبه محوری از فشار صفر شروع شد و متناسب با حرکت سنبه محوری به تدریج افزایش یافت تا به بیشینه فشار رسید و در انتهای فرآیند فشار صفر گشت. در این تحقیق روش اجزاء محدود برای شبیه‌سازی فرآیند هیدروفرمینگ قطعه سه‌راهی T شکل با جابجایی محوری مطابق منحنی بارگذاری شکل 7 به کار رفت. برای تحلیل اجزاء محدود از حل دینامیکی صریح<sup>2</sup> در نرم‌افزار اجزاء محدود آباکوس<sup>3</sup> استفاده شد. شروع شبیه‌سازی پس از پایان مرحله آب‌بندی دو انتهای لوله در آزمایش هیدروفرمینگ و زمان پایان آن پس از صفر شدن فشار بود. مدت زمان فرآیند از لحظه‌ی شروع پر شدن قالب تا توقف سنبه محوری در پایان 40 ثانیه بود. در این تحقیق از سنبه مخالف<sup>4</sup> برای کنترل شکل دهی در سمت شاخه سه‌راهی استفاده نشد.

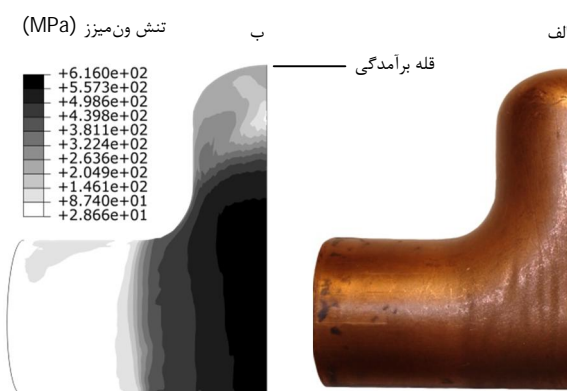
خواص مواد مورداستفاده در تحلیل، برای دو حالت سخت‌شوندگی همسان‌گرد و سخت‌شوندگی ترکیبی موربررسی قرار گرفت. مقادیر خواص الاستیک لوله شامل مدول یانگ 70 گیگا پاسکال و ضریب پوآسن 0/3 در حین شبیه‌سازی ثابت فرض شد. از آنجایی که در حین فرآیند هیدروفرمینگ قالب و سنبه‌های محوری بدون تغییر شکل باقی می‌مانند، در مدل اجزاء محدود به عنوان اجسام پوسته‌ای و صلب در نظر گرفته شدند و برای آن‌ها نقاط مرجع تعريف شدند. برای لوله، مدل سه‌بعدی با خواص شکل‌بندی به کار

1- Genetic Algorithm

2- Explicit

3- Abaqus

4- Counterpunch



شکل 9 (الف) قطعه واقعی ب) قطعه شبیه‌سازی با سخت‌شوندگی ترکیبی

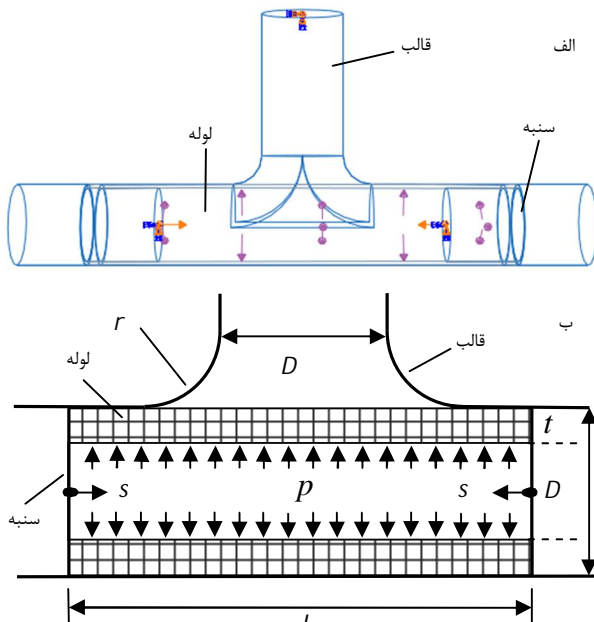
جدول 3 مقایسه نتایج شبیه‌سازی و نتایج تجربی

خطا %	ماکریم ارتفاع برآمدگی (mm)	نوع نتیجه
-	33/0	تجربی
2/7	32/10	شبیه‌سازی با خواص همسانگرد
0/15	32/95	شبیه‌سازی با خواص ترکیبی

فرآیند در شکل 10 نشان داده شده است. در شبیه‌سازی توسط سخت‌شوندگی ترکیبی تنش مؤثر کمتر و کرنش مؤثر بیشتری به دست آمد. برای بررسی تفاوت‌های دو منحنی در شکل 10، در شکل‌های 11 و 12 مؤلفه‌های تنش و کرنش در قله برآمدگی در دو راستای محیطی و طولی لوله ترسیم شدند. مطابق شکل 11 برای راستای محیطی لوله، نتایج برای دو شبیه‌سازی مشابه بود و تغییر جهت تنش در ابتدا و حین فرآیند مشاهده نگردید و فقط در انتهای فرآیند تنش محیطی برای هر دو شبیه‌سازی وارد ناحیه منفی شد و فرآیند نیز پایان یافت. در انتهای فرآیند به دلیل اینکه این تنش‌های منفی افزایش نیافتد بنابراین اثر بوشینگ با وجود تغییر جهت تنش برای این مورد مشاهده نشد و در ناحیه تنش‌های منفی برای دو شبیه‌سازی تفاوتی دیده نشد. در شکل 12 تغییر جهت تنش طولی از فشاری به کشنشی در حین فرآیند مشاهده گردید و کرنش منفی با قدر مطلق کوچک‌تر برای خواص ترکیبی به دست آمد. تفاوت دو شبیه‌سازی در شکل 10 به تغییر جهت تنش‌های طولی در شکل 12 مربوط می‌شود. در ابتدای فرآیند تنش‌های طولی در قطعه به دلیل جابجایی سنبه محوری فشاری بودند، به تدریج تنش‌های طولی با افزایش فشار داخلی، از فشاری به کشنشی تغییر جهت دادند. هنگام تغییر جهت تنش، در شبیه‌سازی با خواص ترکیبی مطابق اثر بوشینگ ماده با تنش کمتری در جهت کشنشی تسلیم شد. در حالی که تسلیم و شروع کرنش مثبت برای سخت‌شوندگی همسانگرد به تنش بیشتری نیاز داشت. بنابراین با تغییر جهت تنش، منحنی‌های تنش طولی در دو شبیه‌سازی از هم جدا شدند و منحنی تنش طولی برای خواص همسانگرد بالاتر از منحنی مربوط به خواص ترکیبی قرار گرفت. درنتیجه با افزایش تنش کشنشی به دلیل افزایش فشار داخلی، در جهت طولی تغییر شکل بیشتری برای خواص ترکیبی انجام شد و کرنش مثبت بیشتری به دست آمد. درنتیجه مجموع کرنش در جهت طولی برای خواص ترکیبی مقداری نزدیک‌تر به کرنش صفر شد. در جدول 4 مقادیر تنش‌ها و کرنش‌های مؤثر و جزئی در قله برآمدگی قطعه سفاره‌ی T شکل در دو شبیه‌سازی داده شدند. تنش و کرنش محیطی در دو شبیه‌سازی اختلاف کمی داشتند. اما تنش طولی در قطعه شبیه‌سازی شده با خواص همسانگرد 24 مگا پاسکال بیشتر از تنش طولی در

[31] 0/04 خود تماسی<sup>2</sup> برای لوله به‌نهایی استفاده گردید. ضربه اصطکاک در شکل 7 در راستای محور لوله و در جهت مختلف یکدیگر به سمت مرکز قالب حرکت کردند و فشار نیز مطابق با منحنی بارگذاری شکل 7 و متناسب با حرکت سنبه محوری به سطح داخلی لوله اعمال گردید. در شکل 8-الف مدل سه‌بعدی و در شکل 8-ب شرایط اعمال فشار به سطح داخلی لوله (b) و جابجایی دو سنبه محوری (a) بهصورت دوبعدی نشان داده شده است. دو تحلیل مجزا با استفاده از خواص مکانیکی مطابق منحنی توانی سخت‌شوندگی همسانگرد و همچنین منحنی سخت‌شوندگی ترکیبی موربررسی قرار گرفتند. قطعه شبیه‌سازی با خواص ترکیبی و قطعه آزمایش هیدروفرمینگ در شکل 9 نشان داده شدند. قطعه شبیه‌سازی در محل تقاطع شاخه‌های سهراهی بیشترین مقدار تنش‌های ون میزز را نشان داد. در این نقاط به علت حرکت سنبه‌های محوری کرنش‌های فشاری بزرگی اعمال گردید. بنابراین کرنش مؤثر در این نقاط بیشترین مقدار را داشتند. بنابراین با توجه به منحنی برونویلی شده در شکل 5 برای کرنش‌های بزرگ، تنش‌های مؤثر بزرگی به دست آمد. در جدول 3 بیشترین ارتفاع برآمدگی در دو شبیه‌سازی با خواص همسانگرد و خواص ترکیبی با آزمایش تجربی مقایسه شده است. همان‌طور که در جدول 3 مشاهده می‌شود، شبیه‌سازی با خواص سخت‌شوندگی ترکیبی از جدول 2 ارتفاع برآمدگی بیشتری را پیش‌بینی نمود، درحالی که تحلیل با خواص همسانگرد از جدول 1 ارتفاع برآمدگی کمتری را محاسبه کرد. نتایج سخت‌شوندگی ترکیبی به نتایج آزمایش هیدروفرمینگ نزدیک‌تر بود.

برای بررسی تأثیر پارامترهای سخت‌شوندگی ترکیبی بر روی شبیه‌سازی، نتایج تنش و کرنش به دست آمده در قله برآمدگی قطعه A شکل موربررسی قرار گرفت. منحنی تنش مؤثر برای این نقطه در طی



شکل 8 (الف) مدل سه‌بعدی قالب، (ب) شرایط مرزی در تحلیل اجزاء محدود

1- Contact pair surfaces  
2- Self-contact

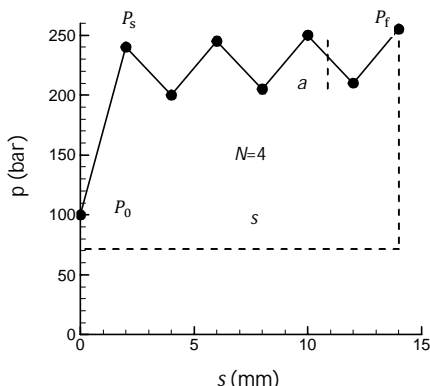
به صورت تابعی از جایجایی محوری تغییر داد. در جدول 5 پارامترهای مسیر بارگذاری برای یک آزمایش مشخص داده شده است. با این پارامترها آنچه به عنوان خروجی حسگرهای فشار و جایجایی خطی دستگاه هیدروفرمینگ ثبت شد، منحنی فشار-جایجایی در شکل 14 بود. زمان فرآیند از لحظه شروع بر شدن قالب تا صفر شدن مجدد فشار 94 ثانیه بود و زمان حرکت سنبه محوری 78 ثانیه و سرعت متوسط سنبه محوری 0/3 میلی متر بر ثانیه ثبت شد. در شکل 15 نیمی از قطعه هیدروفرمینگ ساخته شده توسط مسیر بارگذاری نوسانی شکل 14 نشان داده شد.

جدول 5 پارامترهای مسیر بارگذاری فرآیند هیدروفرمینگ پالسی

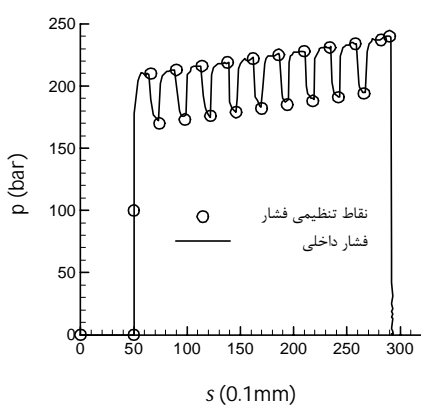
$N$	$s$ (mm)	$a$ (bar)	$P_f$ (bar)	$P_s$ (bar)	$P_0$ (bar)	پارامتر مقدار
10	24	40	240	210	100	

جدول 4 نتایج دو شبیه‌سازی در انتهای فرآیند قبل از باربرداری

$\varepsilon_\varphi$	$\sigma_\varphi$ (MPa)	$\varepsilon_\theta$	$\sigma_\theta$ (MPa)	$\bar{\varepsilon}$	$\bar{\sigma}$ (MPa)	شبیه‌سازی
-0/044	299	0/207	305	0/254	287	همسانگرد
-0/029	275	0/208	300	0/264	275	ترکیبی



شکل 13 نقاط تنظیمی قله و دره فشار در هیدروفرمینگ پالسی



شکل 14 منحنی مسیر بارگذاری نوسانی

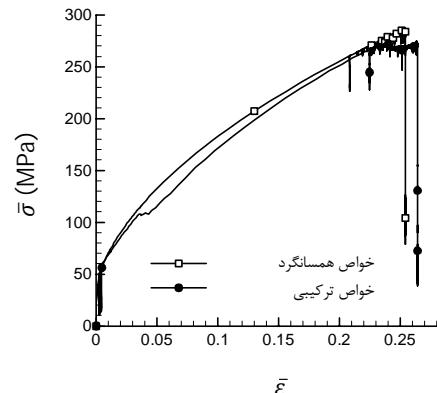


شکل 15 قلعه سراهی T شکل آزمایش هیدروفرمینگ پالسی

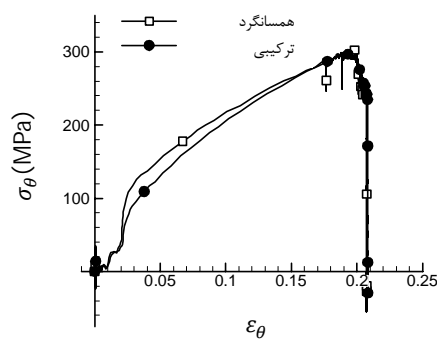
شبیه‌سازی با خواص ترکیبی بود. قدر مطلق کرنش طولی نیز در شبیه‌سازی با خواص همسانگرد 0/015 بیشتر از شبیه‌سازی با خواص ترکیبی بود.

##### 5- مسیر بارگذاری نوسانی

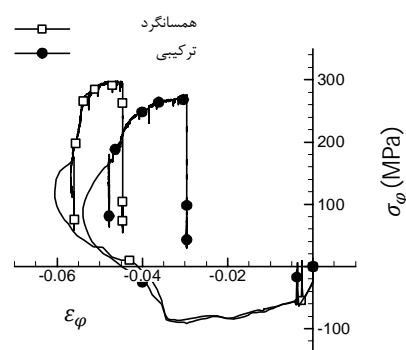
در فرآیند هیدروفرمینگ پالسی فشار بین مقادیر از قبل تعریف شده نوسان کرد و سنبه‌های محوری نیز نیروی فشاری را به دو انتهای لوله وارد نمودند. دامنه و فرکانس نوسان فشار در این فرآیند با در نظر گرفتن محدودیت‌های موجود از قبیل فشار ترکیدگی، تغییر نمود. پارامترهای فرآیند هیدروفرمینگ پالسی در این تحقیق در منحنی مسیر بارگذاری در شکل 13 نمایش داده شدند. این پارامترها شامل فشار اولیه بعد از آبندی ( $P_0$ )، فشار اولیه در شروع نوسان فشار ( $P_s$ ). فشار نهایی ( $P_f$ ). جایجایی نهایی سنبه محوری ( $\bar{\varepsilon}$ )، تعداد نوسان فشار ( $N$ ) و دامنه نوسان فشار ( $a$ ) بودند. با تعریف شدن مقادیر این پارامترها نقاط قله و دره منحنی مسیر بارگذاری مشخص شدند. با استفاده از این نقاط تنظیمی، دستگاه هیدروفرمینگ فشار را در حین فرآیند



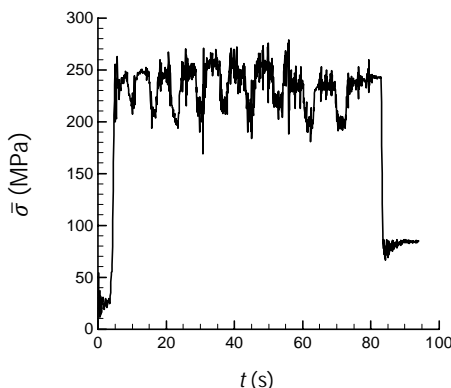
شکل 10 منحنی تنش مؤثر-کرنش مؤثر در گره واقع در قله برآمدگی



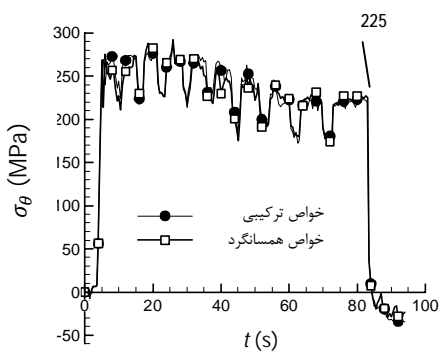
شکل 11 منحنی تنش-کرنش در راستای محیطی لوله در گره واقع در قله برآمدگی



شکل 12 منحنی تنش-کرنش در راستای طولی لوله در گره واقع در قله برآمدگی



شکل ۱۶ منحنی تنش مؤثر در شبیه‌سازی با خواص ترکیبی در قله برآمدگی



شکل ۱۷ منحنی تنش محیطی در دو شبیه‌سازی در گره واقع در قله برآمدگی

جهت تنش‌ها، در جهت مخالف تغییر شکل با تنش کمتری را محاسبه نمود. همان‌طور که در شکل ۱۸ مشاهده می‌شود در انتهای فرآیند در قله برآمدگی در جهت طولی لوله برای هر دو شبیه‌سازی تنش پسماند کششی وجود داشت که مقدار این تنش پسماند برای خواص ترکیبی کمتر بود.

#### 6- تأثیر بارگذاری نوسانی بر خواص مواد لوله

در این تحقیق برای بررسی هیدروفرمینگ پالسی تأثیر نوسان فشار بر روی خواص ماده لوله به صورت تجربی مورد بررسی قرار گرفت. به منظور اینکه تأثیر نوسان فشار بهتر مشخص شود، از منحنی فشار با تعداد نوسان کم و بدون استفاده از حرکت سنبه محوری استفاده شد. شبیه‌سازی بالج آزاد نشان داده است که عدم حرکت سنبه محوری باعث شده است که تنش‌ها در لوله در منطقه‌ای که با قالب تماس داشته نسبت به منطقه‌ی سهراهی که لوله و قالب با یکدیگر تماس نداشتند، ناچیز باشد و تغییر شکل عمده در منطقه‌ای آزاد لوله انجام گرفته است [21]. بنابراین می‌توان تأثیر عامل اصطکاک را در فرآیند بالج آزاد ناچیز در نظر گرفت. بنابراین در بالج آزاد تغییر شکل لوله بیشتر و استه به فشار هیدرولیک داخلی است. برای بررسی تأثیر نوسان فشار، فشار داخلی در سه مرحله وارد شد. در شکل ۱۹ فشار داخلی لوله بر حسب زمان و همچنین ارتفاع برآمدگی لوله در منطقه بالج آزاد بر حسب زمان رسم شدند. همان‌طور که در این شکل مشاهده می‌شود در طی فرآیند باربرداری و بارگذاری مجدد، مقادیر تسلیم ماده تغییر کرد که در شکل با خط‌چین نمایش مشخص شده است. به عبارتی بعد از مرحله باربرداری و بارگذاری مجدد هنگام افزایش فشار تأخیری در منحنی ارتفاع برآمدگی مشاهده شد و پس از اینکه فشار به مقدار قبل از باربرداری رسید، از این فشار به بعد ارتفاع

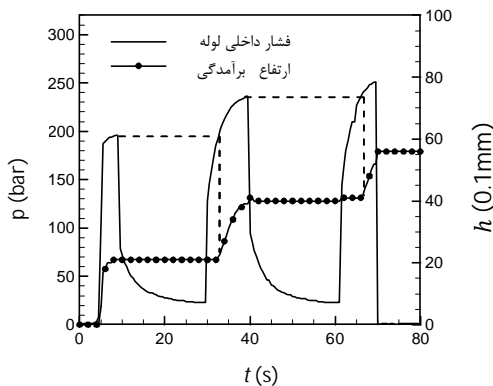
#### 5-1- شبیه‌سازی فرآیند هیدروفرمینگ پالسی

شرایط شبیه‌سازی مطابق بخش قبل است با این تفاوت که از منحنی مسیر بارگذاری نوسانی مطابق شکل ۱۴ استفاده شد. دو شبیه‌سازی مجزا با استفاده از خواص همسانگرد برای ماده لوله از جدول ۱ و خواص ترکیبی همسانگرد-سینماتیک غیرخطی از جدول ۲ مورد بررسی قرار گرفتند. در جدول ۶ ارتفاع برآمدگی برای دو شبیه‌سازی باهم مقایسه شدند. همان‌طور که در جدول ۶ مشاهده می‌شود خواص ترکیبی خطای کمتری داشت، هرچند خطای شبیه‌سازی با خواص همسانگرد نیز قابل قبول بود. در شکل ۱۶ منحنی تنش ون میز بر حسب زمان در قله برآمدگی برای شبیه‌سازی ترکیبی نمایش داده شده است. منحنی تنش ون میز دارای دو نوع نوسان کوچک و بزرگ بود.

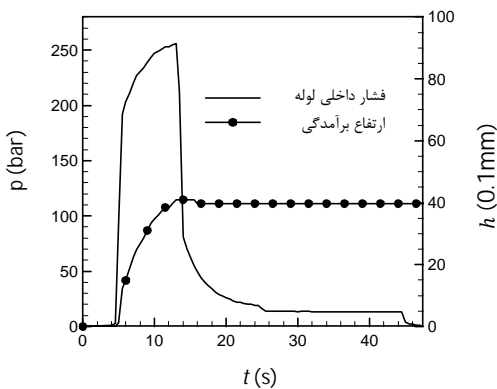
نوسان‌های بزرگ به تعداد نوسان‌های مسیر بارگذاری در شکل ۱۴ و ناشی از تغییرات فشار داخلی، اما نوسان‌های کوچک ناشی از حرکت‌های غیرخطی سنبه‌های محوری بودند. علاوه بر این در انتهای فرآیند در گره واقع در قله برآمدگی تنش پسماند مثبتی وجود داشت. در شکل ۱۷ تنش‌های محیطی در لوله در دو شبیه‌سازی باهم مقایسه شدند. همان‌طور که مشاهده می‌گردد نتایج با استفاده از دو نوع سخت‌شوندگی مشابه بودند. دلیل آن این است که تغییر جهت تنش در راستای محیطی در ابتدا و حین فرآیند وجود نداشت و تنها در انتهای فرآیند که فشار داخلی کاهش یافت، تنش محیطی تغییر جهت داد. در انتهای فرآیند چون فشار داخلی مطابق منحنی بارگذاری کاهش یافت، درنتیجه تنش‌های ناشی از آن نیز حذف گردید، به همین دلیل مقدار تنش در انتهای شبیه‌سازی در منحنی‌های شکل‌های ۱۷ و ۱۸ کاهش یافتدند. همچنین جابجایی محوری نیز متوقف شد. در عین حال چون سنبه‌ها در تماس با دو انتهای لوله بودند، هنوز تنش‌های پسماند فشاری اندکی در لوله وجود داشتند. درنتیجه با حذف تنش‌های کششی، تنش‌های محیطی در شکل ۱۷ وارد ناحیه منفی شدند. این تنش‌های منفی امکان ادامه و افزایش نداشتند و چون سنبه محوری متوقف شد، در یک حدی باقی ماندند. چنانچه این تنش‌ها افزایش می‌یافتدند، مجدداً اثر بوشینگر باعث تفاوت در منحنی‌های تنش در جهت منفی می‌شد و دو منحنی تنش با استفاده از سخت‌شوندگی همسانگرد و سخت‌شوندگی ترکیبی از یکدیگر جدا می‌شدند. ولی در این مورد تنش‌ها نهایتاً در یک حدی باقی ماندند و فرآیند پایان یافت. در شکل ۱۸ منحنی تنش طولی در لوله در طی زمان فرآیند در دو شبیه‌سازی نشان داده شده است. مقایسه منحنی‌ها نشان می‌دهد که در شبیه‌سازی به کمک سخت‌شوندگی ترکیبی با افزایش زمان فرآیند تنش‌های طولی افزایش کمتری داشت. در ابتدای فرآیند همان‌طور که در شکل ۱۸ مشاهده می‌شود، تغییر جهت تنش طولی وجود داشت. این تغییر جهت تنش به این دلیل است که در ابتدای فرآیند به دلیل وجود نیروهای فشاری سنبه به دو انتهای لوله، در طول لوله تنش فشاری به وجود آمد و در ادامه با افزایش فشار هیدرولیکی به سطح داخلی لوله تنش کششی در جهت طولی لوله افزایش یافت و بر تنش فشاری غالب گردید. بنابراین جهت تنش از فشاری به کششی تغییر کرد. نرم‌افزار آباکوس در شبیه‌سازی با سخت‌شوندگی ترکیبی هنگام تغییر

جدول ۶ مقایسه نتایج ارتفاع قطعه در آزمایش هیدروفرمینگ پالسی و دو شبیه‌سازی

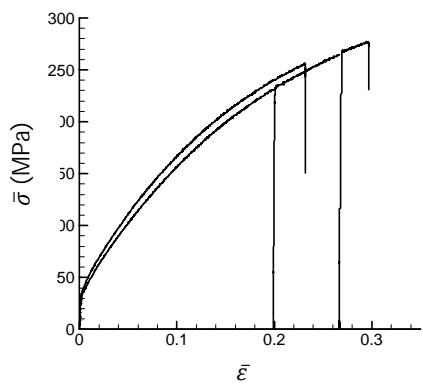
نوع نتیجه	ماکزیمم ارتفاع برآمدگی (mm)	%
آزمایش تجربی	28/64	-
شبیه‌سازی با سخت‌شوندگی همسانگرد	28/33	1
شبیه‌سازی با سخت‌شوندگی ترکیبی	28/41	0/8



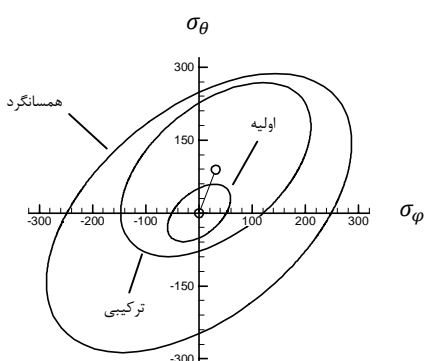
شکل 19 منحنی فشار داخلی سه مرحله‌ای و ارتفاع برآمدگی



شکل 20 منحنی فشار داخلی یک مرحله‌ای و ارتفاع برآمدگی

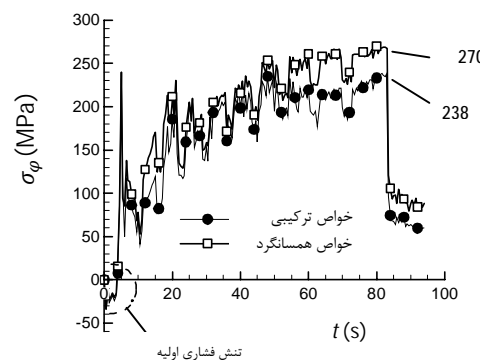


شکل 21 منحنی تنش-کرنش آزمون‌های کشش یکنواخت و سه مرحله‌ای



شکل 22 سطح تسلیم در کرنش معادل 0/19 برای دو نوع سخت‌شوندگی همسانگرد از جدول 1 و ترکیبی از جدول 2

برآمدگی افزایش یافت. در جدول 7 مقادیر فشار و ارتفاع برآمدگی برای سه مرحله فشار داده شده است. همچنین برای مقایسه، آزمون بالج دیگری نیز انجام شد، به طوری که فشار داخلی نهایی در یک مرحله وارد شد که منحنی‌های فشار و ارتفاع برآمدگی مربوط به آن در شکل 20 رسم شدند. در جدول 8 نتایج این آزمون بالج نیز داده شده است. از مقایسه دو جدول 7 و 8 نتیجه گرفته شد که برای آزمون بالج با فشار در چند مرحله، ارتفاع برآمدگی بیشتر به دست آمد. بنابراین بارگذاری و باربرداری خصوصیات ماده لوله را تغییر داد. برای بررسی بیشتر آزمون کششی به صورت چندمرحله‌ای مطابق با کرنش‌های معادل با آزمون بالج بر روی نمونه‌ی کشش انجام شد و با نتایج آزمون کشش یک مرحله‌ای تا شکست مقایسه گردید. همان‌طور که در شکل 21 مشاهده می‌شود در آزمون کشش سه مرحله‌ای، کرنش شکست نسبت به آزمون کشش در یک مرحله افزایش یافت. با افزایش کرنش، مقادیر تنش تسلیم نسبت به تنش تسلیم اولیه به میزان زیادی افزایش یافت. همچنین مقادیر تنش تسلیم بعد از باربرداری و بارگذاری مجدد بر تنش قبل از باربرداری مرحله قبل منطبق بود و نومدار حالت پیوسته‌ای داشت. این خصوصیت مشابه حالت شکل 19 برای ارتفاع برآمدگی است که در آن ارتفاع برآمدگی تا رسیدن به فشارهای قبل از باربرداری در مرحله‌ی قبل تغییر نکرد. در شکل 22 سطح تسلیم برای دو نوع سخت‌شوندگی همسانگرد و هیدروفرمینگ نشان داده شده است. برای قله فشار اول در شکل 19 کرنش معادل در بالای برآمدگی قطعه معادل 0/19 و کرنش‌های محیطی و طولی به ترتیب برابر 0/149 و 0/028 به دست آمد. بنابراین مرکز سطح تسلیم در سخت‌شوندگی ترکیبی همسانگرد-سینماتیک غیرخطی در فرآیند هیدروفرمینگ نشان داده شده است. برای قله فشار اول در شکل 19 کرنش معادل در بالای برآمدگی قطعه معادل 0/19 و کرنش‌های محیطی و طولی به ترتیب برابر 0/149 و 0/028 به دست آمد. بنابراین مرکز سطح تسلیم در سخت‌شوندگی همسانگرد نیز مطابق پارامترهای جدول 1 رسم شده است که سطح تسلیم فقط بزرگ شد و مرکز سطح آن ثابت باقی ماند.



شکل 18 منحنی تنش طولی در دو شبیه‌سازی در گره واقع در قله برآمدگی

جدول 7 نتایج آزمون بالج در سه مرحله

آزمایش بالج نوسانی (mm)	ارتفاع برآمدگی (bar)	فشار (bar)
2/1	196	قله فشار اول
3/9	236	قله فشار دوم
5/2	251	قله فشار سوم

جدول 8 نتایج آزمون بالج در یک مرحله

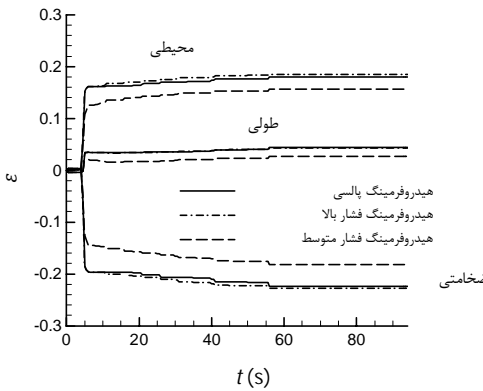
آزمایش بالج در یک مرحله (bar)	ارتفاع برآمدگی (mm)	فشار (bar)
4/1	254	قله فشار 2

جدول 9 مقایسه نتایج ارتفاع برآمدگی شبیه‌سازی‌ها با نتایج آزمایش‌های تجربی

% خطأ	نوع مسیر بارگذاری	شبیه‌سازی (mm)	آزمایش تجربی (mm)
0/80	پالسی	28/41	28/64
0/82	فشار بالا	28/80	29/04
0/71	فشار متوسط	27/72	27/92

جدول 10 مقایسه کرنش‌های در سه جهت در هیدروفرمینگ پالسی و بدون نوسان

نوع نتیجه	کرنش طولی	کرنش طولی	کرنش محیطی
شبیه‌سازی پالسی	0/180	0/043	-0/223
شبیه‌سازی فشار بالا	0/185	0/042	-0/227
شبیه‌سازی فشار متوسط	0/156	0/026	-0/182



شکل 24 تغییرات کرنش در طی زمان فرآیند در گره واقع در قله برآمدگی

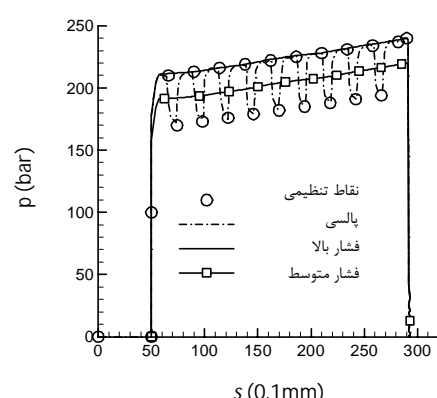
همان‌طور که در شکل 25 مشاهده می‌شود، اندازه‌ی ضخامت برای شبیه‌سازی فشار متوسط از دو شبیه‌سازی دیگر بیشتر بود و در دو شبیه‌سازی فشار بالا و پالسی اختلاف کمتری وجود داشت. در جدول 11 کمترین، میانگین و همچنین پراکندگی ضخامت قطعه در راستای محیطی در سه شبیه‌سازی با یکدیگر مقایسه شدند. در شکل 26 تغییرات ضخامت قطعه در راستای طولی بر حسب فاصله از قله برآمدگی، برای سه شبیه‌سازی نشان داده شده است. در این مسیر نیز اندازه‌ی ضخامت قطعه برای دو شبیه‌سازی فشار بالا و پالسی اختلاف کمتری داشتند و در شبیه‌سازی فشار متوسط ضخامت از دو شبیه‌سازی دیگر بیشتر بود. در جدول 12 کمترین، میانگین و همچنین پراکندگی ضخامت قطعه در راستای طولی در سه شبیه‌سازی با یکدیگر مقایسه شدند. از شکل‌های 25 و 26 و مقادیر جدول‌های 11 و 12 نتیجه شد که در هر دو راستای محیطی و طولی، در هیدروفرمینگ فشار متوسط میانگین ضخامت بیشتر و پراکندگی ضخامت کمتری نسبت به هیدروفرمینگ پالسی و فشار بالا به دست آمد. در این تحقیق به دلیل اینکه از سنبه مخالف استفاده نشد، چانچه نازک شدگی کمتر در قطعه به عنوان پارامترهای بحرانی مطرح باشند، با مقایسه ضخامت در مناطق زیر خط‌چین در شکل‌های 25 و 26 نازک شدگی قطعه در منطقه‌ی برآمدگی در هیدروفرمینگ پالسی بیشتر است و هیدروفرمینگ فشار متوسط از این لحاظ ترجیح داده می‌شود. اما اگر ارتفاع برآمدگی بیشتر پارامتر بحرانی باشد، هیدروفرمینگ پالسی ترجیح داده می‌شود. بنابراین به طور خلاصه هیدروفرمینگ پالسی باعث افزایش شکل‌دهی لوله شده است. به طوری که ارتفاع برآمدگی بیشتری را نتیجه داد و ضخیم شدگی قطعه که ناشی از فشار محوری سنبه‌ها بود، را کاهش داد. از طرف دیگر مقدار ضخامت دیواره قطعه پراکندگی بیشتری داشت و نیز نازک شدگی

7- مقایسه هیدروفرمینگ پالسی و غیر پالسی

همان‌طور که در بخش‌های 4 و 5 نشان داده شد، شبیه‌سازی هر دو فرآیند هیدروفرمینگ بدون نوسان فشار و هیدروفرمینگ پالسی به کمک سخت‌شوندگی ترکیبی با خطای کمتری همراه بود. بنابراین در این تحقیق، از شبیه‌سازی اجزاء محدود به کمک سخت‌شوندگی ترکیبی همسانگرد-سینماتیک غیرخطی برای مقایسه هیدروفرمینگ پالسی و غیر پالسی استفاده شد تا نتایج با دقیقیت بهتری قابل مقایسه باشند. شبیه‌سازی‌های فرآیند هیدروفرمینگ بدون نوسان فشار برای دو مسیر بارگذاری فشار بالا و فشار متوسط که در شکل 23 نمایش داده شده است، انجام گردید و با نتایج شبیه‌سازی توسط منحنی مسیر بارگذاری پالسی در شکل 14 مقایسه شدند. شرایط دیگر شبیه‌سازی از جمله زمان فرآیند، ضریب اصطکاک و سرعت سنبه محوری مشابه شبیه‌سازی هیدروفرمینگ پالسی فرض شدند. برای شبیه‌سازی از خواص ترکیبی همسانگرد-سینماتیک غیرخطی از جدول 2 استفاده شد. در جدول 9 ارتفاع برآمدگی قطعه در هیدروفرمینگ پالسی، فشار بالا و فشار متوسط باهم مقایسه شده‌اند. مقادیر جدول 9 نشان می‌دهد که برای هیدروفرمینگ فشار بالا ارتفاع برآمدگی بیشتری به دست آمد. با توجه به اینکه دامنه نوسان فشار در آزمایش هیدروفرمینگ نوسانی 40 بار در نظر گرفته شده بود، بنابراین توسط فشار در آزمایش هیدروفرمینگ فشار بالا 20 بار بیشتر از هیدروفرمینگ پالسی بود و ارتفاع برآمدگی نیز 0/40 میلی‌متر بیشتر از هیدروفرمینگ پالسی به دست آمد. باینکه میانگین فشار در هیدروفرمینگ پالسی و هیدروفرمینگ فشار متوسط باهم برابر بود، ولی ارتفاع برآمدگی در هیدروفرمینگ پالسی به مقدار 0/72 میلی‌متر بیشتر از هیدروفرمینگ فشار متوسط به دست آمد. در جدول 10 مؤلفه‌های کرنش در سه جهت محیطی، طولی و ضخامتی در المان واقع در قله برآمدگی برای سه شبیه‌سازی آورده شدند و در شکل 24 تغییرات کرنش در طی زمان فرآیند برای سه شبیه‌سازی مقایسه شدند. نتایج نشان داد که کرنش‌های نهایی در هیدروفرمینگ پالسی با هیدروفرمینگ فشار بالا اختلاف ناچیزی داشت ولی اندازه‌ی کرنش‌های نهایی در هیدروفرمینگ فشار متوسط، کمتر از مقادیر مربوط به هیدروفرمینگ پالسی بود. در شکل 25 تغییرات ضخامت قطعه سه راهی T شکل در راستای محیطی بر حسب فاصله از قله برآمدگی، برای سه شبیه‌سازی نشان داده شده است. برای محاسبه ضخامت از رابطه (10) و از کرنش ضخامتی لوله که در شبیه‌سازی به دست آمد، استفاده شد.

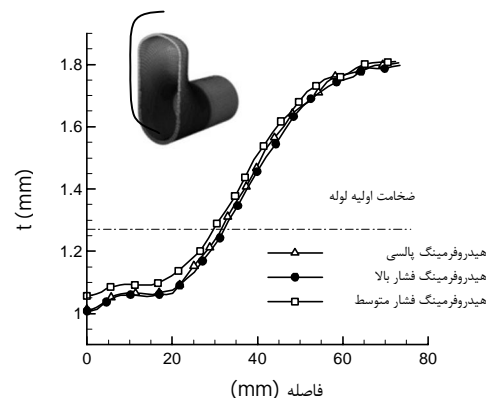
$$t = t_0 e^{\varepsilon t} \quad (10)$$

در این رابطه  $t_0$  ضخامت اولیه و  $\varepsilon$  کرنش ضخامتی لوله است.



شکل 23 منحنی مسیر بارگذاری هیدروفرمینگ غیر پالسی

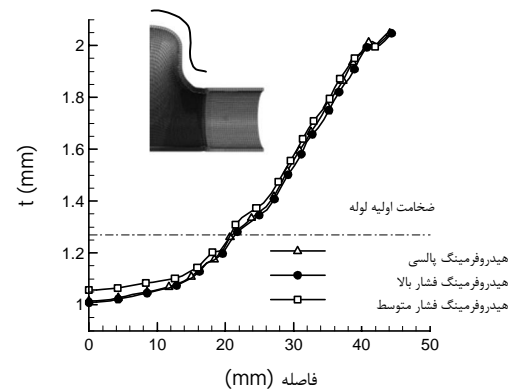
سخت‌شوندگی ترکیبی برای ماده لوله نسبت به شبیه‌سازی با فرض سخت‌شوندگی همسانگرد با دقت بیشتری نتایج آزمایش هیدروفرمینگ را پیش‌بینی نمود. همچنین برای بررسی تأثیر نوسان فشار، آزمون بالج چند مرحله‌ای انجام شد و نتایج با آزمون بالج یک مرحله‌ای مقایسه گردید. نتایج نشان داد که برای یک سطح از فشار نهایی استفاده از چند مرحله آزمون بالج تا رسیدن به این فشار نهایی، ارتفاع برآمدگی بیشتری را در مقایسه با آزمون بالج یک مرحله‌ای تا همین فشار نهایی به وجود آورد. به کمک خواص ترکیبی مقایسه‌ای بین شبیه‌سازی فرآیند هیدروفرمینگ پالسی، فشار بالا و فشار متوسط انجام شد. شبیه‌سازی هیدروفرمینگ قطعه‌ی T شکل نشان داد که هیدروفرمینگ پالسی در مقایسه با هیدروفرمینگ فشار متوسط ارتفاع برآمدگی بیشتر، میانگین ضخامت کمتر و پراکندگی ضخامت بیشتری را نتیجه داد.



شکل 25 تغییرات ضخامت بر حسب فاصله از قله برآمدگی در راستای محیطی قطعه

#### 9- فهرست علامت

دامنه نوسان فشار (bar)	<i>a</i>
پارامتر سخت‌شوندگی همسانگرد شابوشه	<i>b</i>
پارامتر سخت‌شوندگی سینماتیک	<i>c</i>
قطر خارجی لوله (mm)	<i>D</i>
مدول یانگ	<i>E</i>
تابع تسلیم	<i>f</i>
ارتفاع برآمدگی قطعه (mm)	<i>h</i>
ضریب استحکام (MPa)	<i>K</i>
اندازه سطح تابع تسلیم (MPa)	<i>k</i>
طول لوله (mm)	<i>L</i>
تعداد نوسان فشار	<i>N</i>
تعداد نقاط منحنی آزمون کشش	<i>m</i>
توان کارسختی	<i>n</i>
فشار داخلی لوله (bar)	<i>p</i>
فشار اولیه (bar)	<i>P<sub>0</sub></i>
فشار نهایی (bar)	<i>P<sub>f</sub></i>
فشار شروع نوسان (bar)	<i>P<sub>s</sub></i>
پارامتر سخت‌شوندگی همسانگرد شابوشه (MPa)	<i>Q</i>
سخت‌شوندگی همسانگرد شابوشه (MPa)	<i>R</i>
ضریب ناهمسانگردی در راستای طولی لوله	<i>R<sub>0</sub></i>
ضریب ناهمسانگردی در راستای محیطی لوله	<i>R<sub>90</sub></i>
شعاع قالب (mm)	<i>r</i>
مجموع مربعات خطای برازش منحنی ترکیبی	<i>S</i>
جابجایی سنبه محوری (mm)	<i>s</i>
تانسور تنش انحرافی (s)	<i>t</i>
ضخامت لوله (mm)	<i>t</i>
ضخامت اولیه لوله (mm)	<i>t<sub>0</sub></i>
علامت یونانی	<i>α</i>
تنش قبلی در سخت‌شوندگی سینماتیک (MPa)	<i>γ</i>
پارامتر سخت‌شوندگی سینماتیک	<i>ε</i>
کرنش مؤثر ون میزز	<i>ξ</i>
کرنش در نقاط منحنی برونویابی شده	<i>ξ<sub>i</sub></i>



شکل 26 تغییرات ضخامت بر حسب فاصله از قله برآمدگی در راستای طولی قطعه

جدول 11 مقایسه ضخامت قطعه در مسیر محیطی در شکل 25 در سه شبیه‌سازی

نوع شبیه‌سازی	کمترین ضخامت	میانگین ضخامت	انحراف از معیار
носانی	1/356	1/014	0/308
فشار بالا	1/348	1/009	0/307
فشار متوسط	1/379	1/057	0/296

جدول 12 مقایسه ضخامت قطعه در مسیر طولی در شکل 26 در سه شبیه‌سازی

نوع شبیه‌سازی	کمترین ضخامت	میانگین ضخامت	انحراف از معیار
носانی	1/452	1/014	0/369
فشار بالا	1/444	1/009	0/367
فشار متوسط	1/465	1/057	0/354

در منطقه‌ی برآمدگی قطعه که با قالب تماس نداشت، بیشتر شد.

#### 8- نتیجه‌گیری

در این تحقیق شبیه‌سازی فرآیند هیدروفرمینگ به کمک دو نوع سخت‌شوندگی همسانگرد و سخت‌شوندگی ترکیبی همسانگرد-سینماتیک غیرخطی مورد بررسی قرار گرفت. ابتدا پارامترهای لازم برای دو نوع سخت‌شوندگی مورد مطالعه به دست آمدند. سپس این پارامترها در شبیه‌سازی فرآیند هیدروفرمینگ پالسی مورد استفاده قرار گرفتند. نتایج نشان داد که تغییر جهت تنش‌ها در ابتدای فرآیند روی تفاوت نتایج دو شبیه‌سازی به کمک دو نوع سخت‌شوندگی مؤثر بودند. شبیه‌سازی با فرض

- Hammering Hydroforming by Static Explicit FEM, *ISIJ International*, Vol. 44, No. 1, pp. 123-128, 2004.
- [12] M. Loh-Mousavi, M. Bakhshi-Jooybary, K.-I. Mori, K. Hyashi, Improvement of formability in T-shape hydroforming of tubes by pulsating pressure, *Journal of Engineering Manufacture*, Vol. 222, No. 9, pp. 1139-1146, 2008.
- [13] M. Kadkhodayan, A. Erfani Moghadam, An investigation into the optimal load paths for the pulsating T-shaped hydroforming of tubes, *Journal of Computational Methods in Engineering*, Vol. 29, No. 2, pp. 1-10, 2011. (In Persian)
- [14] Y. Xu, S. Zhang, M. Cheng, H. Song, X. Zhang, Application of Pulsating Hydroforming in Manufacture of Engine Cradle of Austenitic Stainless Steel, *Procedia Engineering*, Vol. 81, No. 0, pp. 2205-2210, 2014.
- [15] M. Loh-Mousavi, M. Bakhshi-Jooybary, K. Mori, M. Farzin, S. J. Hosseinpour, Mechanism of Improvement of Die Corner Filling in Pulsating Hydroforming of Tube in a Box-Shape Die, *Modares Mechanical Engineering*, Vol. 9, No. 1, pp. 121-133, 2009. (In Persian)
- [16] L. Yang, H. Rong, Y. He, Deformation Behavior of a Thin-Walled Tube in Hydroforming with Radial Crushing Under Pulsating Hydraulic Pressure, *Journal of Materials Engineering and Performance*, Vol. 23, No. 2, pp. 429-438, 2014.
- [17] F. Dunne, N. Petrinic, *Introduction to Computational Plasticity*, First Edition, pp. 23-38, New York: Oxford university press, 2005.
- [18] F. J. Humphreys, M. Hatherly, *Recrystallization and Related Annealing Phenomena*, Second Edition, pp. 416, Amsterdam: Elsevier, 2004.
- [19] V. Panahizadeh R, H. Moslemi Naeini, G. Liaghat, M. Salmani Tehrani, Study of the effects of work hardening models on spring back in cold roll forming of U channels, *Modares Mechanical Engineering*, Vol. 13, No. 6, pp. 74-82, 2013. (In Persian)
- [20] M. Koç, T. Altan, An overall review of the tube hydroforming (THF) technology, *Journal of Materials Processing Technology*, Vol. 108, No. 3, pp. 384-393, 2001.
- [21] A. Ashrafi, K. Khalili, Studying the stress-strain curve of C12200 Copper tube using hydraulic bulge test in T-shape die, *Modares Mechanical Engineering*, Vol. 14, No. 13, pp. 95-106, 2015. (In Persian)
- [22] Y.-M. Hwang, Y.-K. Lin, H.-C. Chuang, Forming limit diagrams of tubular materials by bulge tests, *Journal of Materials Processing Technology*, Vol. 209, No. 11, pp. 5024-5034, 2009.
- [23] H. W. Swift, Plastic instability under plane stress, *Journal of the Mechanics and Physics of Solids*, Vol. 1, No. 1, pp. 1-18, 1952.
- [24] A. H. Mahmoudi, S. M. Pezeshki-Najafabadi, H. Badnava, Parameter determination of Chaboche kinematic hardening model using a multi objective Genetic Algorithm, *Computational Materials Science*, Vol. 50, No. 3, pp. 1114-1122, 2011.
- [25] B. K. Chun, J. T. Jinn, J. K. Lee, Modeling the Bauschinger effect for sheet metals, part I: theory, *International Journal of Plasticity*, Vol. 18, No. 5-6, pp. 571-595, 2002.
- [26] J. L. Chaboche, Constitutive equations for cyclic plasticity and cyclic viscoplasticity, *International Journal of Plasticity*, Vol. 5, No. 3, pp. 247-302, 1989.
- [27] J. L. Chaboche, Time-independent constitutive theories for cyclic plasticity, *International Journal of Plasticity*, Vol. 2, No. 2, pp. 149-188, 1986.
- [28] J.-M. Collin, T. Parenteau, G. Mauvoisin, P. Pilvin, Material parameters identification using experimental continuous spherical indentation for cyclic hardening, *Computational Materials Science*, Vol. 46, No. 2, pp. 333-338, 2009.
- [29] N. Huber, C. Tsakmakis, A neural network tool for identifying the material parameters of a finite deformation viscoplasticity model with static recovery, *Computer Methods in Applied Mechanics and Engineering*, Vol. 191, No. 3-5, pp. 353-384, 2001.
- [30] B. W. Williams, C. H. M. Simha, N. Abedrabbo, R. Mayer, M. J. Worswick, Effect of anisotropy, kinematic hardening, and strain-rate sensitivity on the predicted axial crush response of hydroformed aluminium alloy tubes, *International Journal of Impact Engineering*, Vol. 37, No. 6, pp. 652-661, 2010.
- [31] Y.-M. Hwang, Y.-K. Lin, T. Altan, Evaluation of tubular materials by a hydraulic bulge test, *International Journal of Machine Tools and Manufacture*, Vol. 47, No. 2, pp. 343-351, 2007.

پیش کرنش	$\varepsilon_0$
کرنش در نمونه کشش در راستای طولی لوله	$\varepsilon_2$
کرنش پلاستیک	$\varepsilon_p$
کرنش ضخامتی لوله	$\varepsilon_t$
کرنش محیطی لوله	$\varepsilon_\theta$
کرنش طولی لوله	$\varepsilon_\varphi$
تنش (MPa)	$\sigma$
تنش مؤثر ون میز (MPa)	$\bar{\sigma}$
تنش در نقاط منحنی برونویابی شده (MPa)	$\bar{\sigma}_i$
تنش تسلیم اولیه (MPa)	$\sigma_0$
تنش در نمونه کشش در راستای طولی لوله (MPa)	$\sigma_2$
تنش تسلیم (MPa)	$\sigma_y$
تنش محیطی در لوله (MPa)	$\sigma_\theta$
تنش طولی در لوله (MPa)	$\sigma_\varphi$
زیرنویس‌ها	
پلاستیک	P
تسلیم	Y

## - مراجع 10

- M. Koç, T. Altan, Prediction of forming limits and parameters in the tube hydroforming process, *International Journal of Machine Tools and Manufacture*, Vol. 42, No. 1, pp. 123-138, 2002.
- M. Ahmetoglu, T. Altan, Tube hydroforming: state-of-the-art and future trends, *Journal of Materials Processing Technology*, Vol. 98, No. 1, pp. 25-33, 2000.
- P. Ray, B. J. Mac Donald, Experimental study and finite element analysis of simple X- and T-branch tube hydroforming processes, *International Journal of Mechanical Sciences*, Vol. 47, No. 10, pp. 1498-1518, 2005.
- F. C. Lin, C. T. Kwan, Application of abductive network and FEM to predict an acceptable product on T-shape tube hydroforming process, *Computers & Structures*, Vol. 82, No. 15-16, pp. 1189-1200, 2004.
- S. Y. Ahmadi Brooghani, K. Khalili, S. E. Eftekhar Shahri, B. S. Kang, Loading path optimization of a hydroformed part using multilevel response surface method, *The International Journal of Advanced Manufacturing Technology*, Vol. 70, No. 5-8, pp. 1523-1531, 2014.
- A. Ben Abdessalem, E. Pagnacco, A. El-Hami, Increasing the stability of T-shape tube hydroforming process under stochastic framework, *The International Journal of Advanced Manufacturing Technology*, Vol. 69, No. 5-8, pp. 1343-1357, 2013.
- M. Kadkhodayan, A. Moghadam, Optimization of load paths in X- and Y-shaped hydroforming, *International Journal of Material Forming*, Vol. 6, No. 1, pp. 75-91, 2013.
- B. Teng, K. Li, S. Yuan, Optimization of loading path in hydroforming T-shape using fuzzy control algorithm, *The International Journal of Advanced Manufacturing Technology*, Vol. 69, No. 5-8, pp. 1079-1086, 2013.
- K. Mori ,A. U. Patwari, S. Maki, Improvement of Formability by Oscillation of Internal Pressure in Pulsating Hydroforming of Tube, *CIRP Annals - Manufacturing Technology*, Vol. 53, No. 1, pp. 215-218, 2004.
- K. Mori, T. Maeno, S. Maki, Mechanism of improvement of formability in pulsating hydroforming of tubes, *International Journal of Machine Tools and Manufacture*, Vol. 47, No. 6, pp. 978-984, 2007.
- T. Hama, M. Asakawa, H. Fukiharu, A. Makinouchi, Simulation of